

دانشگاه یزد

دانشکده فیزیک

گروه اتمی و مولکولی

پایان نامه

برای دریافت درجه کارشناسی ارشد

فیزیک اتمی مولکولی

مطالعه شتابدهنده‌های خطی الکترواستاتیک و طراحی یک نمونه با انرژی ۲ مگا الکترون ولت

استاد راهنما:

دکتر عباس بهجت

استاد مشاور:

سید مصطفی ساداتی

پژوهش و نگارش: سید خلیل موسوی

۱۳۸۹ زمستان

تعدیم

مروارید

۴

عزم

مشکروقدراتی

بعد از پاس حق، برخود لازم می دانم که از کیه کسانی که بـ انجام مختلف در تهیه و اعلان خشیدن بهـ این پژوهش و امور مربوط بهـ آن مریاری نمودهـ

اند، تقدیر و مشکر نایم.

پیش‌پیش از استاد ارجمند و با احترام، جناب آقای دکتر عباس بخت استاد راهنمای پایان نامه که از راهنمایی های عالمند و دلوزانه‌ی خویش در تامی

مراحل انجام کار مریاری فرموده‌اند، کمال مشکروقدراتی را در ارم.

به‌خوبی از جناب آقای مهندس سید مصطفی سادati استاد مشاور پایان نامه که از راهنمایی های ارزشمند شان در طول مراحل تحقیق استفاده نموده‌ام،

تقدیر و مشکر می‌نایم.

از استاد محترم دانشگاه فنیک و از سایر دوستان و عزیزانی که در انجام مراحل تحقیق به کاری صمیمانه‌ای داشته‌اند کمال مشکروپاسکزاری را در ارم.

چکیده

در این پایاننامه یک شتابدهنده الکترواستاتیک با انرژی ۲ مگا الکترون ولت طراحی و ارائه شده است. پایاننامه مشتمل بر چهار فصل میباشد که در سه فصل اول آن به ترتیب به بررسی دینامیک ذرات باردار، اپتیک ذرات باردار و عدسیهای الکترواستاتیکی و مغناطیسی پرداخته شده است. در فصل چهارم با استفاده از نرم افزارهای SIMION 3D و Matlab به شبیه‌سازی و طراحی سیستم‌های استخراج‌کننده، سیستم همگراکننده و همچنین سیستم شتابدهی و لوله رانش پرداخته‌ایم. در نهایت یک سیستم شتابدهنده الکترواستاتیکی برای شتاب الکترون تا انرژی ۲ مگا الکترون ولت با امیتانس کم طراحی کرده و ارائه داده‌ایم.

فهرست مطالب

عنوان	صفحه
فصل اول دینامیک ذرات باردار در میدان‌های الکتریکی و مغناطیسی ۱	۱
۱-۱- مقدمه ۱	۲
۱-۲- تعیین میدان‌های الکتریکی و مغناطیسی ۱	۲
۱-۳- تعیین مولفه‌های میدان‌های الکتریکی و مغناطیسی ۱	۳
۱-۳-۱- روش‌های تحلیلی و میدان‌های پتانسیل متقارن محور ۱	۳
۱-۳-۱-۱- پتانسیل و میدان یک عدسی استوانه‌ای دو عنصری ۱	۴
۱-۳-۱-۲- پتانسیل و میدان یک عدسی دهانه‌ای ۱	۷
۱-۳-۱-۳- روش‌های محاسبات عددی ۱	۱۰
۱-۳-۱-۴- روش جداسازی متغیرها ۱	۱۰
۱-۳-۲- روش اختلاف محدود FDM ۱	۱۰
۱-۳-۳- روش اجزای محدود FEM ۱	۱۱
۱-۴- روش عنصرمربزی BEM یا روش چگالی بار ۱	۱۱
۱-۴-۱- شکل میدان‌های الکتریکی و مغناطیسی در عدسی‌ها ۱	۱۱
۱-۵- معادله حرکت ذرات باردار در میدان الکتروستاتیک ۱	۱۳
۱-۵-۱- معادله حرکت باریکه ذرات پیرامحور ۱	۱۳
۱-۶- دینامیک نسبیتی ۱	۱۵
۱-۶-۱- جرم نسبیتی ۱	۱۵

۱۶.....	۱-۶-۲- تکانه نسبیتی ذره
۱۷	۱-۳-۶- انرژی نسبیتی
۱۸	۱-۷- تصحیح معادله حرکت در میدان الکترواستاتیکی با در نظر گرفتن اثرات نسبیتی
۱۱-۸- معادله مسیر نهایی برای یک ذره باردار در میدان الکتریکی و مغناطیسی با در نظر گرفتن اثرات نسبیتی	
۲۰	۲۰ فصل دوم
۲۳	۲۳ باریکه‌های یونی و الکترونی با انرژی بالا
۲۴	۲۴ ۱-۱- مقدمه
۲۴	۲-۲- مقایسه بین اپتیک ذرات باردار و اپتیک نوری
۲۴	۲-۲-۱- اپتیک هندسی و اپتیک فیزیکی ذرات باردار
۲۴	۲-۲-۱-۱- اپتیک هندسی
۲۴	۲-۲-۱-۲- اپتیک فیزیکی
۲۶.....	۲-۳- عدسی‌ها در اپتیک نوری و الکترونی
۲۷	۲-۳-۱- عدسی الکترواستاتیک به عنوان یک عدسی ضخیم
۲۸	۲-۳-۲- عدسی‌های الکترواستاتیک به عنوان یک عدسی نازک
۲۸	۴-۲- پارامترهای باریکه ذرات باردار شدید
۲۸	۴-۲-۱- جریان باریکه
۲۹	۴-۲-۱-۱- حد جریان باریکه‌های الکترونی نسبیتی شدید
۳۰	۴-۲-۲- پروینس
۳۱	۴-۳-۴-۲- درخشندگی
۳۱	۴-۴-۲- امیتانس
۳۳	۵-۴-۵- اپتیک باریکه خطی با بار فضایی

۳۳	۱-۵-۲- تئوری باریکه با بار فضایی
۳۵	۲-۵-۲- روش تقریبی برای محاسبه بار فضایی
۳۶	۳-۵-۲- انتشار باریکه الکترونی نسبیتی تحت عمل میدان های خودی در کانال خلاء
۳۹	فصل سوم
۳۹	عدسی های الکترواستاتیک و مغناطیسی
۴۰	۱-۳- مقدمه
۴۰	۲-۳- انواع عدسی ها
۴۱	۲-۳-۱- عدسی الکترواستاتیک
۴۲	۲-۳-۱-۱- عدسی های دو الکترودی
۴۳	۲-۳-۱-۱-۲- عدسی های سه الکترودی
۴۴	۲-۳-۱-۱-۳- عدسی های چهار الکترودی
۴۵	۲-۳-۱-۱-۴- عدسی های پنج الکترودی
۴۷	۲-۳-۱-۲-۱- عدسی های مغناطیسی
۴۷	۲-۳-۱-۲-۱-۱- عدسی مغناطیسی سلونوئیدی
۴۹	۲-۳-۱-۲-۱-۲- عدسی قطاع مغناطیسی
۵۳	۲-۳-۱-۲-۳- عدسی دو قطبی مغناطیسی
۵۴	۲-۳-۱-۲-۴- عدسی چهار قطبی مغناطیسی
۵۹	فصل چهارم
۵۹	طراحی و شبیه سازی شتاب دهنده الکترو استاتیکی الکترون با انرژی ۲ مگا الکترون ولت (2MeV)
۶۰	۱-۴- مقدمه
۶۰	۱-۲-۴- منابع الکترونی
۶۱	۲-۲-۴- سیستم استخراج کننده باریکه الکترونی

۴-۲-۳- مقدار پذیرش باریکه در سیستم استخراج کننده ۷۰
۴-۳- طراحی و شبیه‌سازی سیستم‌های همگرا کننده باریکه ذرات باردار ۷۳
۴-۴- سیستم‌های موازی کننده (خنک کننده) باریکه های الکترونی ۸۴
۴-۵- سیستم‌های شتاب‌دهنده باریکه‌های الکترونی ۸۵
۴-۵-۱- تقسیم پتانسیل بین الکترودهای شتاب‌دهنده ۸۶
۴-۵-۲- اثرات هندسه و لبه‌های الکترودها بر باریکه الکترونی ۸۷
۴-۵-۳- اثرات شتاب بر امیانس باریکه ۹۰
۴-۶- سیستم‌های انتقال باریکه‌های الکترونی ۹۴
۴-۷- شبیه‌سازی و طراحی چند نمونه از سیستم شتاب‌دهنده ۹۶
۴-۷-۱- سیستم شتاب‌دهنده تشکیل شده از سیستم‌های استخراج کننده ، همگرا کننده و چند الکترود شتاب ۹۶
۴-۷-۲- استفاده از یک سیستم خنک کننده در سیستم شتاب‌دهنده ۱۰۰
۴-۷-۳- شبیه‌سازی و طراحی ستون شتاب دهنده نهایی با مونتاژ قسمت‌های تشکیل دهنده ستون ۱۰۳
۴-۷-۴- بررسی تغییرات سطح مقطع باریکه و مساحت اشغال شده در فضای فاز توسط ذرات باریکه ۱۱۳
۴-۷-۵-۱- بررسی سطح مقطع باریکه ۱۱۳
۴-۷-۵-۲- بررسی مساحت اشغال شده توسط ذرات در فضای فاز ۱۱۵
۴-۸- نتیجه گیری ۱۱۸
۴-۹- پیشنهادات ۱۱۹
۴-۱۰- منابع و مأخذ ۱۲۰

فصل اول

دینامیک ذرات باردار در میدان‌های الکتریکی و مغناطیسی

۱-۱ - مقدمه

آگاهی از چگونگی حرکت ذرات باردار در میدان‌های الکتریکی و مغناطیسی از اطلاعات مهم مورد نیاز در شتاب‌دادن ذرات می‌باشد. به عبارت دیگر باید بدانیم که دقیقاً چه عواملی باعث شتاب، جهت دادن، همگرا نمودن و واگرایی ذرات باردار می‌شود. در این فصل ضمن بدست آوردن معادله‌ی کلی حاکم بر حرکت ذره در میدان الکترومغناطیسی، دینامیک نسبیتی (دینامیک ذرات با سرعت‌های بالا) را نیز بررسی خواهیم کرد.

۲-۱ - تعیین میدان‌های الکتریکی و مغناطیسی

می‌توان از معادله نیوتون، لاگرانژی، هامیلتونی، و معادلات اول برای بدست آوردن معادله‌ی حاکم بر حرکت ذرات باردار در میدان‌های الکتریکی و مغناطیس استفاده کرد [۱ و ۲].
یکی از هدف‌های اصلی ایجاد میدان‌های الکتریکی و مغناطیسی هدایت، کانونی کردن، منحرف کردن و، شتاب دادن و شتاب گرفتن از ذرات باردار می‌باشد. بنابراین باید به این موضوع توجه داشت که چه موقعی و برای چه کاری از کدام میدان‌ها استفاده کنیم. از مقایسه انرژی مغناطیسی در واحد حجم برای میدان‌های الکتریکی و مغناطیسی داریم:

$$\frac{F_M}{F_E} = \frac{V}{C} \quad (1-1)$$

همان طور که از رابطه (۱-۱) مشاهده می‌کنیم در سرعت‌های پایین میدان الکتریکی موثرتر از میدان مغناطیسی است. به همین دلیل اغلب در سرعت‌های پایین ذرات از میدان الکتریکی و در سرعت‌های نسبیتی از میدان‌های مغناطیسی استفاده می‌شود.
معادله لورنتس به صورت زیر تعریف می‌شود.

$$F = qE + qV \times B \quad (2-1)$$

رابطه (۲-۱) نشان می‌دهد که فقط میدان الکتریکی می‌تواند به ذرات باردار نیرو وارد کند و باعث افزایش سرعت، و در نتیجه شتاب ذره باردار شود.

از میدان مغناطیسی بیشتر برای جهت دادن به ذرات باردار استفاده می‌شود، اما در انرژی-های بالا این میدان برای همگرایی ذرات باردار نیز مورد استفاده قرار می‌گیرد در حالی که تندي ذره در میدان مغناطیسی تغییر نمی‌کند.

۱-۳-۱- تعیین مولفه‌های میدان‌های الکترویکی و مغناطیسی

به طور کلی برآورد و تعیین پتانسیل، میدان الکترویکی و مغناطیسی به سه روش انجام می-

گیرد:

۱. روش تحلیلی

۲. اندازه‌گیری میدان‌ها و روش‌های مقایسه‌ای

۳. روش‌های محاسبات عددی

روش‌های تحلیلی و روش‌های اندازه‌گیری میدان‌ها به طور مفصل در مراجع [۲ و ۳] توضیح داده شده است. در اینجا تنها به چند مسئله که با روش تحلیلی حل شده‌اند اشاره خواهیم کرد و یک نگاه کلی هم به روش محاسبات عددی خواهیم داشت.

۱-۳-۱- روش‌های تحلیلی و میدان‌های پتانسیل متقارن محور

در مراجع مختلف نشان داده شده است که برای بدست آوردن مولفه‌های پتانسیل در تمام نقاط فضای بدست آوردن و داشتن پتانسیل محوری (Z) U کافی می‌باشد.

بیشتر ابزار کانونی‌کننده در اپتیک یونی و الکترونی، شامل میدان‌های مغناطیسی و یا الکترویکی متقارن محور هستند که می‌توانند بوسیله یک تابع پتانسیل اسکالار نشان داده شوند. از روش‌های ساده و سریعی که برای چنین پتانسیل‌هایی می‌توان استفاده نمود روش جداسازی متغیرها است. اغلب ابزار اپتیک یونی دارای تقارن سمتی می‌باشند. به عبارتی مستقل از مختصه α هستند. به همین دلیل می‌توان معادله لاینس را در غیاب بار فضایی به صورت زیر نشان داد:

$$\frac{1}{r} \frac{\partial}{\partial r} \left(r \frac{\partial u}{\partial r} \right) + \frac{\partial^2 u}{\partial z^2} = 0 \quad (\text{3-1})$$

با استفاده از عملیات‌های ریاضی و با کمک توابع بسل و نیومن پتانسیل در تمام فضا به

شکل زیر به دست می‌آید:

$$u(r, z) = \frac{1}{\pi} \int_0^\pi U(z + jr \cos \xi) d\xi \quad (\text{Eq } -1)$$

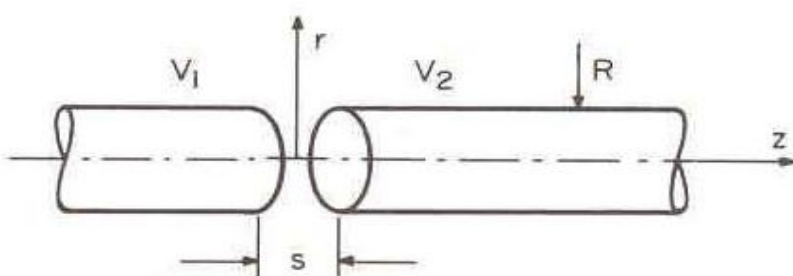
این عبارت، حقیقت مهمی را نشان می‌دهد و آن این‌که یک میدان متقارن محوری را می-
توان به وسیله توزیع پتانسیل آن در طول محور به طور کامل تعیین نمود.

۱-۳-۱- پتانسیل و میدان یک عدسی استوانه‌ای دو عنصری

به طور کلی پتانسیل محوری برای عدسی‌های دوالکترودی با پتانسیل V_1 و V_2 ، به صورت رابطه زیر تعریف می‌شوند.

$$V(Z) = \frac{1}{2}(V_1 + V_2) + \frac{1}{2}(V_2 - V_1)U(z) = V_1 + (V_2 - V_1)\Psi(Z) \quad (\Delta^{-1})$$

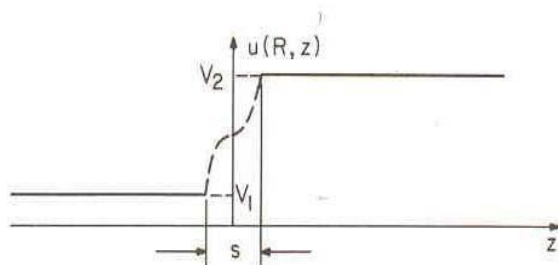
که در $Z \rightarrow \mp\infty$ تابع‌های $\Psi(Z)$ و $U(z)$ به ترتیب دارای مقادیر بین ۰، ۱ و ± 1 می‌باشند، $U(z)$ و $\Psi(z)$ برای عدسی‌ها مختلف (مثلاً با فاصله متفاوت بین دو الکترود برای عدسی‌ها) دارای شکل متفاوت می‌باشد [۴]. به عنوان یک مثال بسیار ساده دو استوانه هم محور به طول بی‌نهایت، هم قطر، با ضخامت نازک و شعاع R که با فاصله s از یکدیگر جدا شده‌اند را بررسی می‌کنیم. استوانه چیز دارای بیانسیل V_1 و استوانه راست دارای بیانسیل V_2 است.



شکل ۱-۱): دوستوانه هم قطر و هم محور با فاصله s

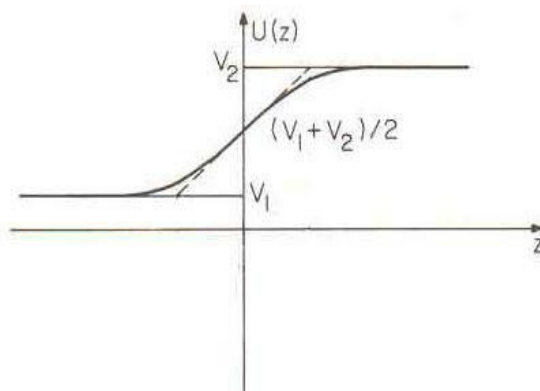
هیچ سیستم حقيقی بینهایت نازک نیست، اما از تاثیر ضخامت‌های متناهی اقلأً در نسبت-
های $\frac{S}{R}$ کوچک می‌توان صرف‌نظر کرد [۴ و ۵].

ما پتانسیل را در سطح استوانه‌ها می‌دانیم، اما در فاصله میان الکترودها باید توزیع پتانسیل
را بدست آورد. البته روشن است که در انتهای استوانه‌ها قدرت میدان حداقل است و پتانسیل با
شیب زیاد تغییر می‌کند، سرعت این تغییر نیز در فاصله میانی کمترین مقدار را دارد (شکل ۱-۲).



شکل ۱-۲: توزیع پتانسیل سیستم دو استوانه‌ای در طول مرز آن ($R=r$)

با همین تحلیل می‌توان شکل توزیع پتانسیل محوری را تقریباً به صورت شکل (۱-۳) در
نظر گرفت.



شکل ۱-۳: توزیع پتانسیل سیستم دو استوانه‌ای در طول محور آن

برفرض مثال در ساده‌ترین شکل، می‌توان پتانسیل زیر را فرض کرد:

$$u(R, z) = \begin{cases} V_1 & \text{if } z \leq -s/2 \\ (V_1 + V_2)/2 + (V_2 - V_1)z/s & \text{if } -s/2 \leq z \leq s/2 \\ V_2 & \text{if } z \geq s/2 \end{cases} \quad (6-1)$$

با استفاده از معادله (۴-۱) و در حد $s = 0$ می‌توان بدست آورد:

$$u(r, z) = \frac{V_2 - V_1}{\pi} \int_0^\infty \frac{I_0(\kappa r)}{I_0(\kappa R)} \frac{\sin(\kappa z)}{\kappa} d\kappa + (V_1 + V_2)/2 \quad (7-1)$$

و برای توزیع پتانسیل محوری داریم:

$$U(z) = \frac{V_2 - V_1}{\pi} \int_0^\infty \frac{\sin(\tau z/R)}{\tau I_0(\tau)} d\tau + (V_1 + V_2)/2 \quad (8-1)$$

در مراجع مختلف با استفاده از تقریب‌های متفاوت، پتانسیل‌های متفاوتی برای این مسئله بدست آمده است. پتانسیل بدست آمده که از دقت بیشتری برخوردار است به صورت زیر تعریف می‌شود [۴۹]:

$$U(z) = (V_1 + V_2)/2 + \frac{V_2 - V_1}{z\omega s/R} \ln \left[\frac{\cosh[\omega(z + \frac{s}{2})/R]}{\cosh[\omega(z - \frac{s}{2})/R]} \right] \quad (9-1)$$

مقدار حدی در $s = 0$ برابر است با:

$$U(z) = \frac{(V_1 + V_2)}{2} + \frac{V_2 - V_1}{2} \tanh(\omega z/R) \quad (10-1)$$

که در این رابطه $\omega = 1.318$ می‌باشد. کاملاً مشخص است که این توابع مشخصات شکل (۳-۱) را دارد.

در معادله (۹-۱)، خطای وجود دارد که ناشی از تقریب مدل خطی [۵] می‌باشد. از این خطا زمانی که فاصله بین الکترودها کوچک باشد می‌توان صرفنظر کرد. اما اگر فاصله در مقایسه با شعاع، قابل مقایسه باشد خطا به شدت رشد خواهد کرد [۶].

روابط تحلیلی تنها در صورتی مفید هستند که:

(a) توزیع پتانسیل صحیح را نشان دهند.

(b) ما را به جواب‌های مستدل و محکمی برای مشخصات کانونی هدایت کنند.

(c) ابزارهایی را برای محاسبات تقریبی فراهم کنند.

نتیجه اینکه مقدار دقیق مولفه‌های میدان سیستم‌های اپتیکی الکترون و یون که شامل الکترودهای استوانه‌ای یا قطب‌های استوانه‌ای است باید با اندازه‌گیری و یا با روش‌های محاسباتی تعیین شوند.

۱-۳-۲-۱- پتانسیل و میدان یک عدسی دهانه‌ای

شکل (۴-۱) یک عدسی تک دهانه‌ای^۱ با شعاع داخلی R را نشان می‌دهد که در پتانسیل V_0 قرار دارد و میان دو ناحیه با میدان یکنواخت E_1 و E_2 قرار گرفته است.

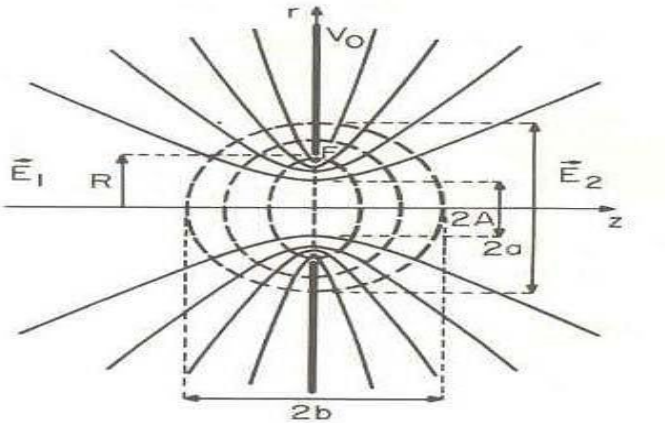
وجود میدان‌های یکنواخت یک تقریب است که اگر الکترود یا قطبی در همسایگی عدسی دهانه‌ای نباشد درست است، پتانسیل برای این حالت به صورت زیر به دست می‌آید.

$$u(r, z) = V_0 - \frac{E_1 + E_2}{2}z + \frac{E_1 - E_2}{\pi} |z| \left(\frac{1}{\mu} + \operatorname{arctg} \mu \right) \quad (11-1)$$

که μ نیز عبارت است از

$$\mu = \left\{ \frac{1}{2 \left(\frac{r^2}{R^2} + \frac{z^2}{R^2} - 1 \right)} + \frac{1}{2} \left[\left(\frac{r^2}{R^2} + \frac{z^2}{R^2} - 1 \right)^2 + 4 \frac{z^2}{R^2} \right]^{\frac{1}{2}} \right\}^{\frac{1}{2}} \quad (12-1)$$

^۱Single aperture lens



شکل ۱-۴): توزیع پتانسیل یک عدسی دهانه‌ای که دو میدان یکنواخت الکترواستاتیکی را از هم جدا کرده

در طول $|z|/R = \mu$, پس خواهیم داشت:

$$U(z) = V_0 - \frac{E_1 + E_2}{2} z + \frac{R}{\pi} (E_1 - E_2) \left(1 + \frac{z}{R} \operatorname{arctan} \frac{z}{R}\right) \quad (13-1)$$

در درون حفره نیز برای $r < R$ و $\mu \neq 0$ می‌باشد. اما برای $r > R$ را داریم

خواهیم داشت:

$$u(r, 0) = V_0 + \frac{E_1 - E_2}{\pi} (R^2 - r^2)^{\frac{1}{2}} \quad (14-1)$$

بنابراین برای مرکز حفره (مرکز عدسی) داریم.

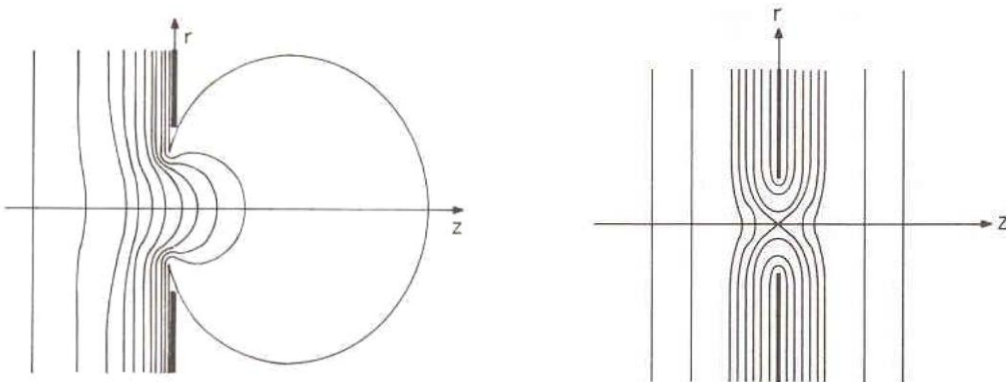
$$U(0) = u(0, 0) = V_0 + (E_1 - E_2)R/\pi \quad (15-1)$$

اگر میدان‌های E_1 و E_2 دارای اندازه و راستای متفاوت باشند، یک نقطه زینی در سمت میدان ضعیفتر شکل می‌گیرد. اگر $E_2 = -E_1$ باشد نقطه زینی در $z = 0$ شکل می‌گیرد، سطوح همپتانسیل چنین حالتی در شکل (۱-۵) نشان داده شده است. اگر راستای دو میدان یکسان باشد، سطوح همپتانسیل از دهانه به سمت پتانسیل ضعیفتر نفوذ می‌کنند اما یکدیگر را قطع

نمی‌کنند. یکی از حالات جالب که در شکل (۱-۶) نشان داده شده است مربوط به حالتی است که میدان در یک سمت عدسی برابر صفر باشد.

عدسی‌های تک دهانه در طراحی و ساخت چشم‌های یون ابزاری مهم به شمار می‌روند

. [۵]



شکل ۱-۵): سطوح هم‌پتانسیل یک عدسی تک دهانه‌ای برای حالت $E_2 = 0$ دهانه‌ای برای حالت $E_2 = -E_1$

با توجه به جواب مسئله بالا می‌توان پتانسیل را با استفاده از برهم نهش پتانسیل‌های دو الکترود دهانه‌ای که در فاصله s از یکدیگر قرار گرفته‌اند و یکی در پتانسیل V_1 و دیگری در پتانسیل V_2 قرار دارد به دست آورد. اگر $S \ll R$ می‌توان فرض کرد که میدان میان الکتروودها (به استثنای نواحی دهانه‌ها) ثابت و به صورت زیر است:

$$E = (V_1 - V_2)/s \quad (16-1)$$

با استفاده از بر همنهش پتانسیل دو دهانه، پتانسیل محوری به صورت زیر به دست می‌آید.

$$U(z) = \frac{V_1 + V_2}{2} + \frac{V_2 - V_1}{2} \phi(z) \quad (17-1)$$

$$\phi(z) = \frac{1}{\pi} \left[(2z/s) \operatorname{arctg} \frac{\frac{2z}{s} + 1}{2R/s} - (2z/s - 1) \operatorname{arctg} \frac{2z/s - 1}{2R/s} \right] \quad (18-1)$$

نتیجتاً روش برهمنهش توزیع پتانسیل چندین دهانه مستقل، روش نسبتاً صحیح و سریعی برای ارزیابی توزیع پتانسیل الکتروودها یا قطب‌ها فراهم می‌سازد [۵]. در مرجع [۷] توزیع پتانسیل برای یک عدسی سه الکتروودی با استفاده از بسط تابع‌های بسل بدست آورده است. در مرجع [۴] در مورد بدست آوردن توزیع پتانسیل به روش‌های مختلف به طور مفصل بحث شده است.

۲-۳-۱- روش‌های محاسبات عددی

بهترین روش به لحاظ سادگی و دقت جواب‌ها، برای تعیین تابع توزیع پتانسیل روش‌های محاسبات عددی است. برای بدست آوردن تابع توزیع پتانسیل روش‌های گوناگون محاسبات عددی وجود دارد که در زیر به برخی آنها به طور خلاصه اشاره می‌کنیم.

۲-۳-۱- روش جداسازی متغیرها

همان‌طور که قبلاً اشاره شد از این روش با تقارن استوانه‌ای برای حل معادله لاپلاس استفاده می‌شود. در این روش معادله لاپلاس به صورت تعدادی تابع که هر یک وابسته به یک متغیر هستند نوشته می‌شوند [۴].

۲-۳-۱- روش اختلاف محدود^۲

در این روش معادله پواسون را اغلب به کمک تکنیک‌های ۵ و ۶ نقطه‌ای حل می‌کنند [۴، ۲].

²Finite Difference Method

^۳FEM-۳-۲-۳-۱ روش اجزای محدود

در این روش از حل مسائل مرزی و معادله پواسون استفاده می‌شود. در این روش از مشاهی مثلثی استفاده می‌شود و مولفه‌های پتانسیل و میدان در رؤوس مثلث‌ها به دست می‌آید [۴۲].

^۴BEM-۳-۲-۴-۱ روش عنصر مرزی BEM^۴ یا روش چگالی بار^۵

در این روش سیستم عدسی‌های الکترواستاتیک تحت پتانسیل اعمال شده، با یک سیستم حلقه‌های بار با چگالی‌های غالباً یکنواخت جایگزین می‌شود [۹۶]. در مقاله [۱۰]، از روش‌های BEM و FEM برای محاسبه عدسی‌های مغناطیسی الکترون با تقارن چرخشی استفاده شده است.

۱-۴- شکل میدان‌های الکتریکی و مغناطیسی در عدسی‌ها

به علت اهمیت میدان‌های الکتریکی و مغناطیسی در اپتیک الکترونی و یونی (فصل دوم)، میدان‌هایی که می‌توانند در عدسی‌های مختلف (فقط عدسی‌های با تقارن محوری در نظر گرفته خواهد شد) به وجود آیند را مورد بررسی قرار می‌دهیم. البته در اینجا فقط تعریف کلی از این میدان‌ها را خواهیم آورد، برای بحث بیشتر می‌توانید به مرجع [۳] رجوع کنید.

همان طور که قبلاً گفته شد میدان‌های الکتریکی و مغناطیسی که برای کانونی کردن، پراش، انحراف باریکه ذرات بکار می‌روند، دارای تقارن خاصی می‌باشند. به ترتیب شدت میدان، میدان‌های به کاربرده شده در اپتیک الکترونی و یونی عبارتند از :

الف- میدان سیلندری

^۳Finite Element Method

^۴Boundary Element Method

^۵Charge Density